

# EL NIÑO/OSCILACIÓN DEL SUR (ENSO, por sus siglas en inglés) DISCUSIÓN DIAGNÓSTICA

emitido por el

**CENTRO DE PREDICCIÓN CLIMÁTICA/NCEP/NWS**  
**Traducción cortesía del: NWS-WFO SAN JUAN, PUERTO RICO**  
11 de junio de 2026

**Estatus del Sistema de alerta del ENSO: Advertencia de El Niño**

**Sinopsis: Las condiciones de El Niño están presentes y se espera que se fortalezca hasta el invierno del hemisferio norte 2026-27.**

Las condiciones de El Niño se desarrollaron durante el pasado mes, como se muestra por las temperaturas de superficie oceánicas (SSTs, por sus siglas en inglés), por encima del promedio a través del océano Pacífico ecuatorial central a este (Fig 1). El valor más reciente del índice del Niño-3.4 fue de +0.7°C y +2.1°C, respectivamente (Fig. 2). El índice de temperatura en la subsuperficie ecuatorial (promedio desde 180°-100°O), disminuyó en el pasado mes (Fig. 3), pero las temperaturas de subsuperficie permanecieron significativamente por encima del promedio en el Pacífico ecuatorial central y este (Fig. 4). Las anomalías en los vientos del oeste en los niveles bajos y en los vientos del este en los niveles altos fueron evidentes sobre el Pacífico ecuatorial central. La convección estuvo ligeramente por encima del promedio en el Pacífico ecuatorial central y este (Fig. 5). Los índices tradicionales y ecuatoriales de la Oscilación del Sur estuvieron negativos. Colectivamente, el sistema acoplado océano-atmósfera reflejó el inicio de condiciones de El Niño.

El promedio del Conjunto Multi-Modelo de Norteamérica (NMME), incluyendo el NCEP CFSv2 (Fig. 6), pronostica que El Niño se intensifique hasta el invierno 2026-27 del hemisferio norte. La alta confianza en El Niño (Fig. 7) está atada a anomalías de alto contenido calórico oceánico y la expansión de anomalías en los vientos del oeste a través del Océano Pacífico ecuatorial. Existe una [probabilidad de 63% de un El Niño muy fuerte](#) durante noviembre-enero (Fig. 8) que estaría posicionándose entre los eventos de El Niño más grandes [en el registro histórico que data desde el 1950](#). Aun eventos fuertes de El Niño no traducen a los impactos esperados en todas partes, pero los eventos más fuertes pueden inclinar significativamente las probabilidades a favor de los resultados esperados (refiérase a las [perspectivas de CPC](#) para anomalías estacionales). En resumen, las condiciones de El Niño están presentes y se espera que se fortalezcan hasta el invierno del hemisferio norte 2026-27.

Esta discusión es un esfuerzo consolidado de la Administración Nacional Oceánica y Atmosférica (NOAA, por sus siglas en inglés), el Servicio Nacional de Meteorología de NOAA y sus instituciones financiadas. Las condiciones oceánicas y atmosféricas son actualizadas semanalmente en la página web del Centro de Predicción Climática ([Condiciones actuales de El Niño/La Niña y La Discusión de Expertos](#)). Un pronóstico probabilístico de la intensidad de ENSO está disponible [aquí](#). La próxima Discusión Diagnóstica de ENSO está programada para el 9 de julio de 2026. Para recibir una notificación por correo electrónico cuando la Discusión Diagnóstica de ENSO mensual esté disponible, favor enviar un mensaje a: [ncep.list.enso-update@noaa.gov](mailto:ncep.list.enso-update@noaa.gov).

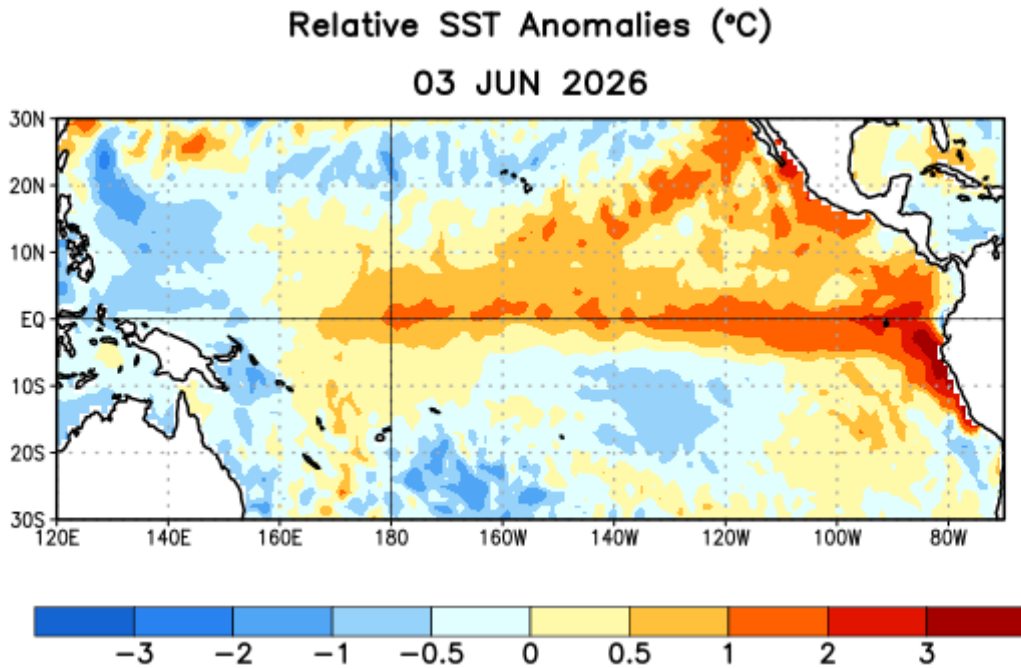


Figura 1. Anomalías (°C) de la temperatura relativa de la superficie del océano (SST, por sus siglas en inglés) para la semana centrada en el 3 de junio de 2026. Las anomalías son calculadas utilizando como referencia los promedios semanales del período base de 1991-2020.

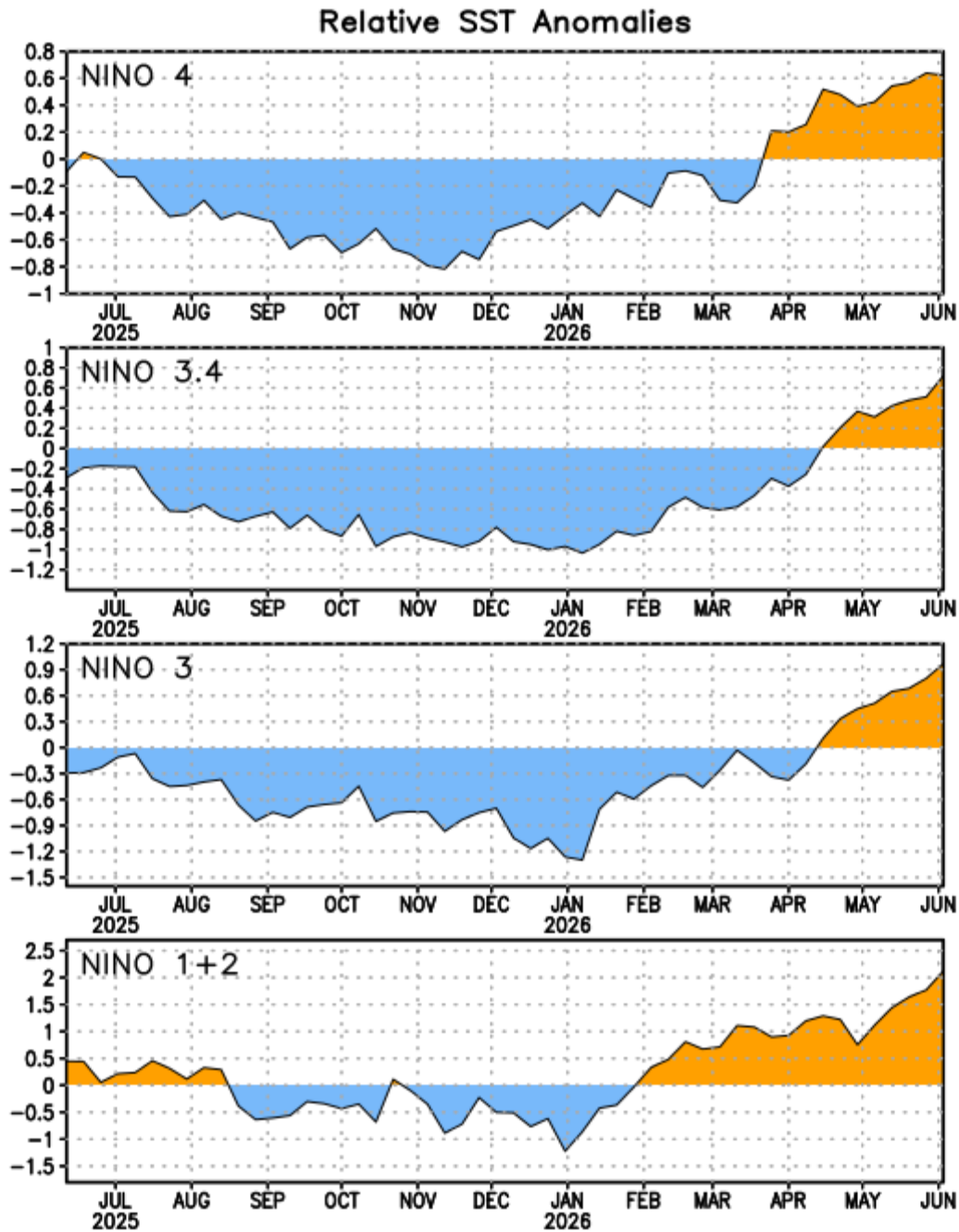


Figura 2. Series de Tiempo de las anomalías (en °C) de temperatura relativa de la superficie del océano (SST) en regiones de El Niño [Niño-4 (5°N-5°S, 160°E-150°O), Niño-3.4 (5°N-5°S, 170°O-120°O), Niño-3 (5°N-5°S, 150°O-90°O), Niño-1+2 (0°-10°S, 90°O-80°O) menos el promedio tropical (20°N-20°S)]. Los índices relativos son reajustados para igualar la varianza de los índices tradicionales Las anomalías son variaciones de los promedios semanales del período base de 1991-2020.

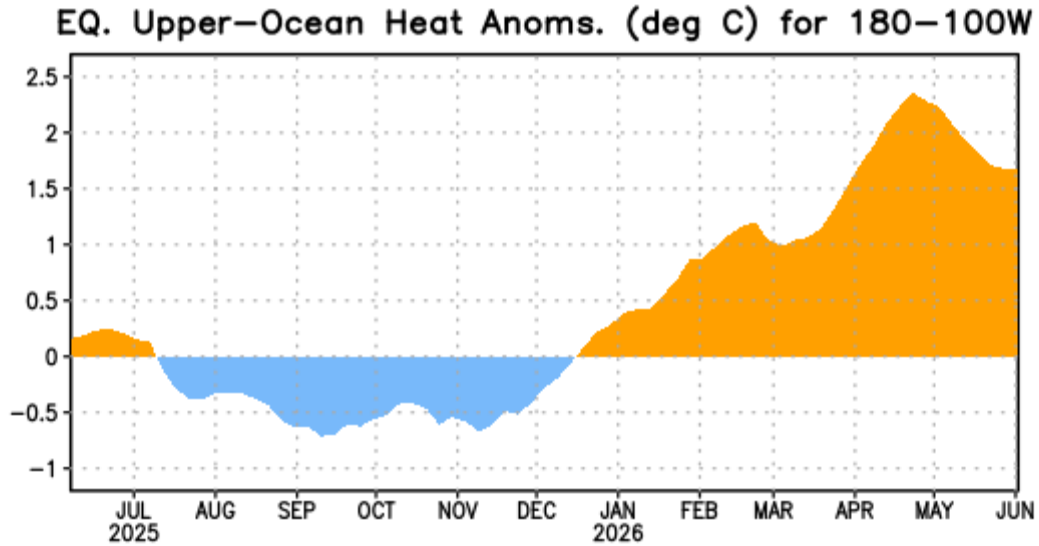


Figura 3. Anomalías del contenido calórico (en °C) en un área promediada de la capa superior (0-300m) del Océano Pacífico ecuatorial (5°N-5°S, 180°-100°O). La anomalía del contenido calórico se calcula como la desviación de los penta-promedios del período base de 1991-2020.

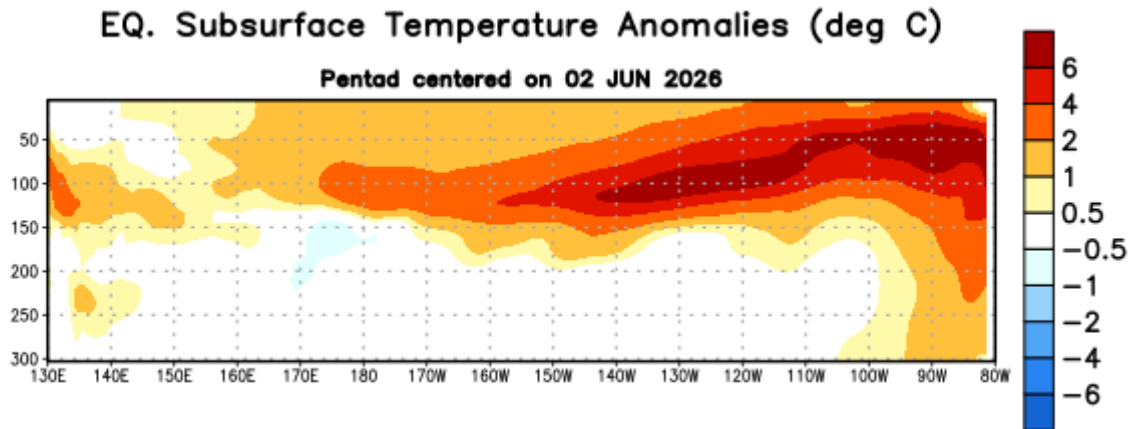


Figura 4. Sección de profundidad-longitud de las anomalías de temperatura (°C) de la capa superior del océano Pacífico ecuatorial (0-300 m) centrada en la semana del 2 de junio de 2026. Las anomalías son desviaciones respecto a los promedios del período base de 1991-2020.

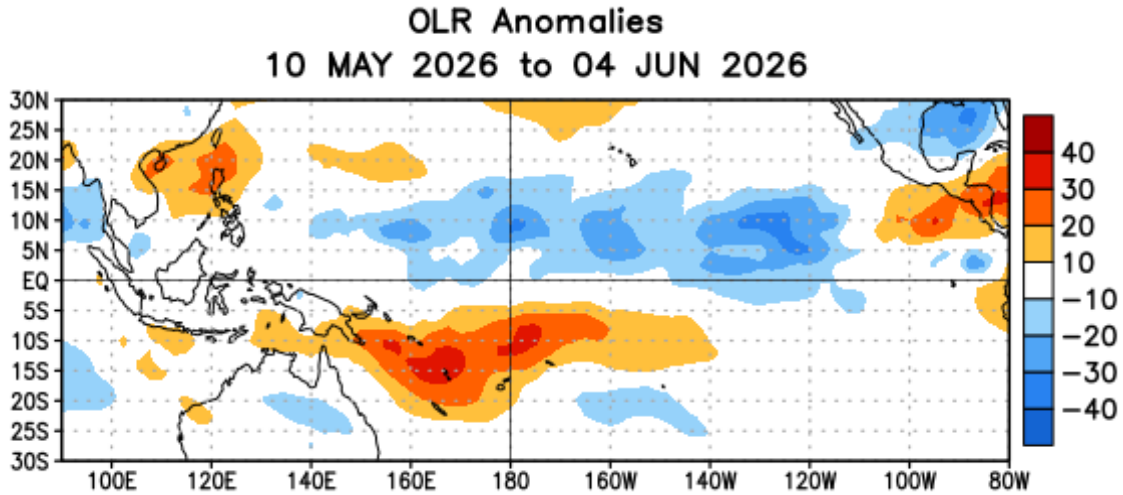


Figura 5. Promedio de las anomalías de radiación de onda larga saliente (OLR) ( $\text{W/m}^2$ ) para el período del 10 de mayo– 4 de junio de 2026. Las anomalías de OLR se calculan como desviaciones respecto a las medias del período base 1991-2020.



NWS/NCEP/CPC

Last update: Mon Jun 8 2026  
Initial conditions: 28May2026–6Jun2026

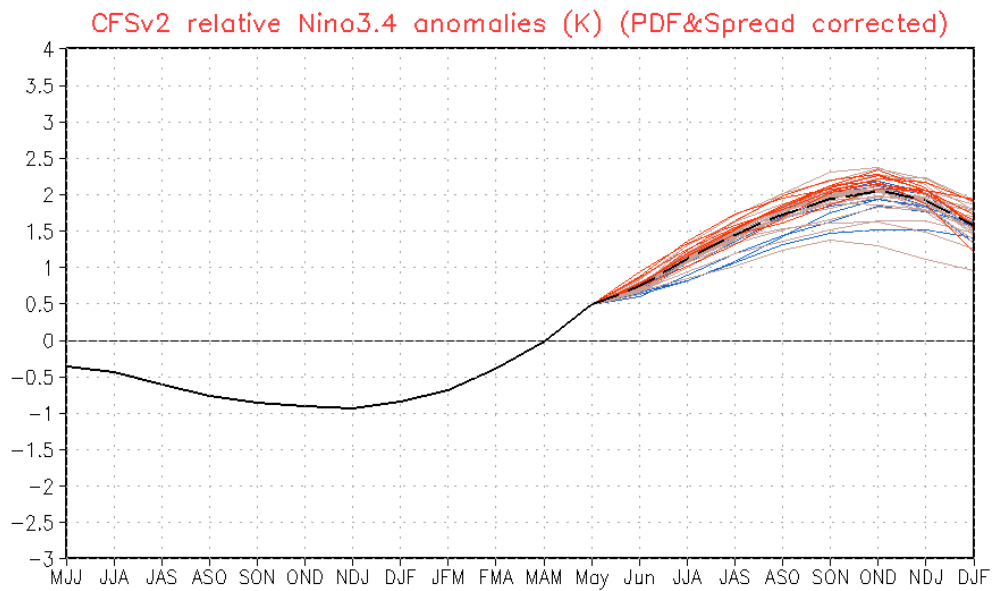


Figura 6. Predicción del Sistema de Pronósticos del clima de NCEP (CFSv2) de las anomalías de la temperatura relativa de la superficie del océano (SST) en la región de El Niño 3.4 ( $5^{\circ}\text{N}$ - $5^{\circ}\text{S}$ ,  $120^{\circ}\text{O}$ - $170^{\circ}\text{O}$ ) menos el promedio tropical ( $20^{\circ}\text{N}$ - $20^{\circ}\text{S}$ ). Índice relativo es reajustado para igualar la varianza del índice tradicional. Gráfico actualizado el 8 de junio de 2026.

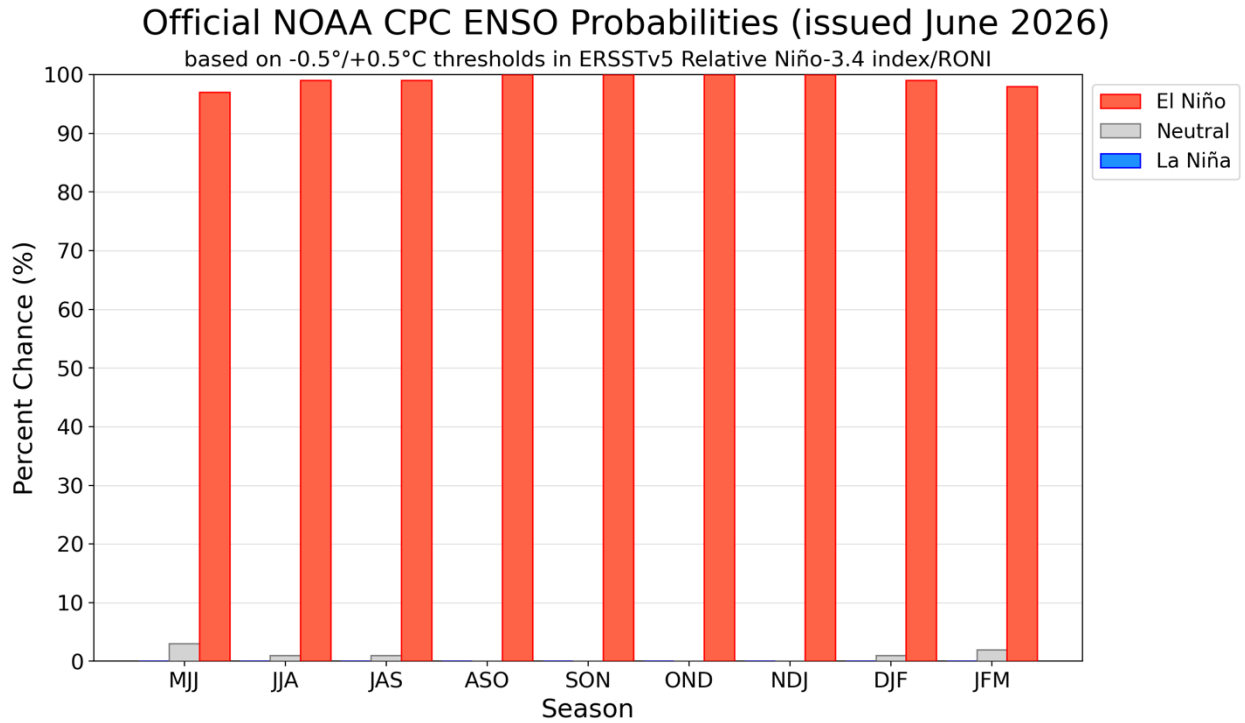


Figura 7. Probabilidades oficiales de ENSO para el índice de temperatura relativa de la superficie del mar en la región Niño 3.4 ( $5^{\circ}\text{N}$ - $5^{\circ}\text{S}$ ,  $170^{\circ}\text{O}$ - $120^{\circ}\text{O}$ ) menos el promedio tropical ( $20^{\circ}\text{N}$ - $20^{\circ}\text{S}$ ). Índice relativo es reajustado para igualar la varianza del índice tradicional. Figura actualizada el 11 de junio de 2026. Imagen/tabla de alta resolución: [https://cpc.ncep.noaa.gov/products/analysis\\_monitoring/enso/roni/probabilities.php](https://cpc.ncep.noaa.gov/products/analysis_monitoring/enso/roni/probabilities.php)

## NOAA CPC ENSO Strength Probabilities (issued June 2026)

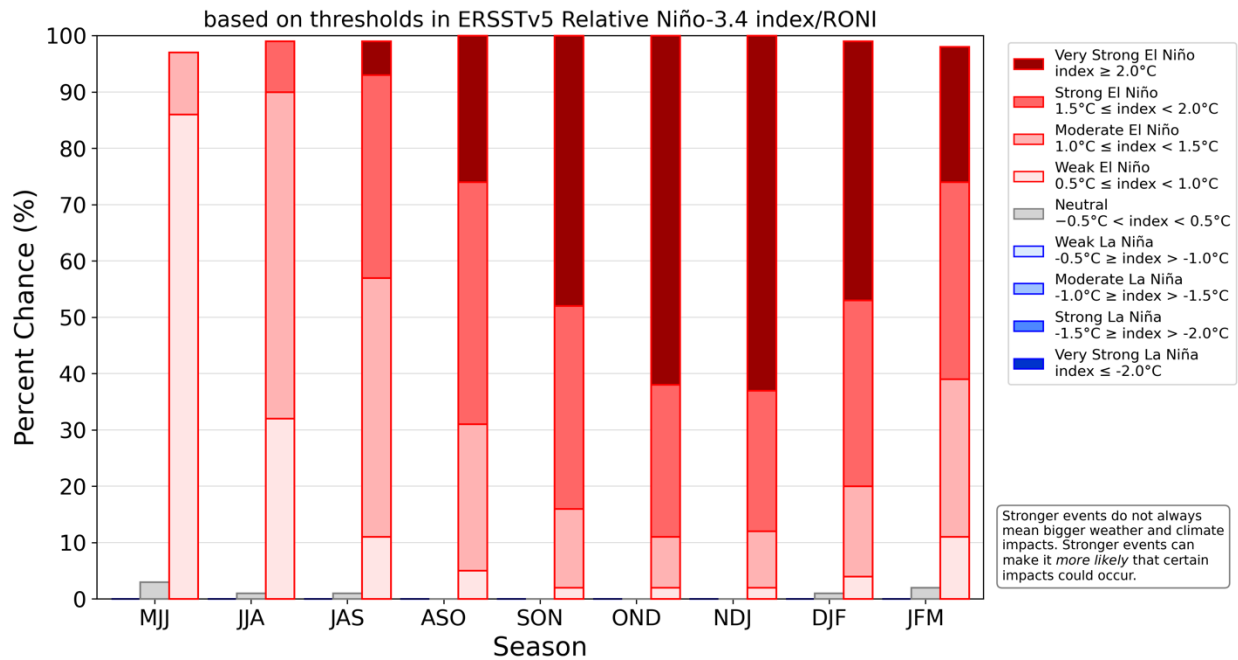


Figura 8. Probabilidades de fortalecimiento de ENSO para el índice relativo de la temperatura en la superficie del mar de la región del Niño 3.4 (5°N-5°S, 170°O-120°O) menos el promedio tropical (20°N-20°S). El índice relativo es reajustado para igualar la varianza del índice tradicional. Figura actualizada el 11 de junio de 2026. Imagen/tabla de alta resolución: [https://cpc.ncep.noaa.gov/products/analysis\\_monitoring/enso/roni/strengths.php](https://cpc.ncep.noaa.gov/products/analysis_monitoring/enso/roni/strengths.php)